

Анонс. Область знаний, наука: конверсика. Уникальные скан-фрагменты. Как анти вновь ворам. Сущность ясна из рисунков и подписей. Все результаты, в т.ч. графическое исполнение, изображения, печать, дизайн – автора. Лично.

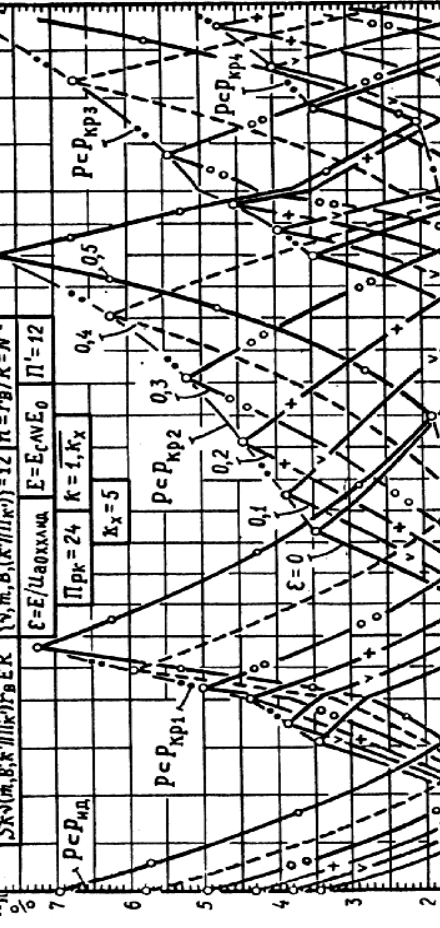
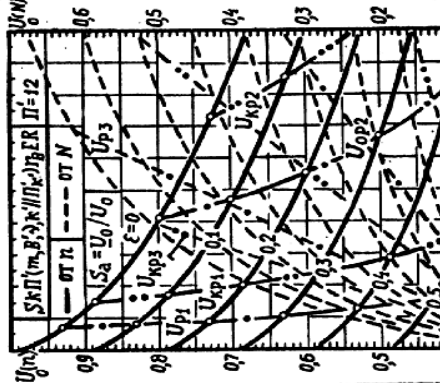
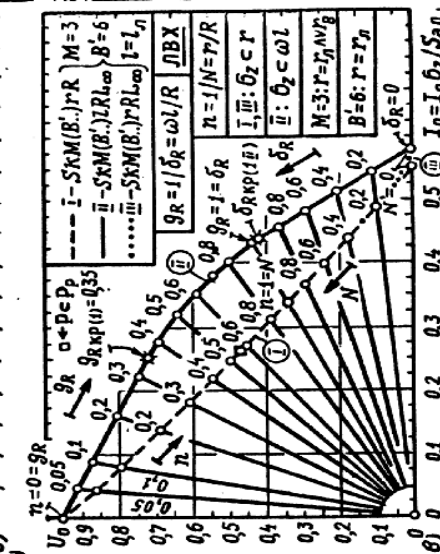
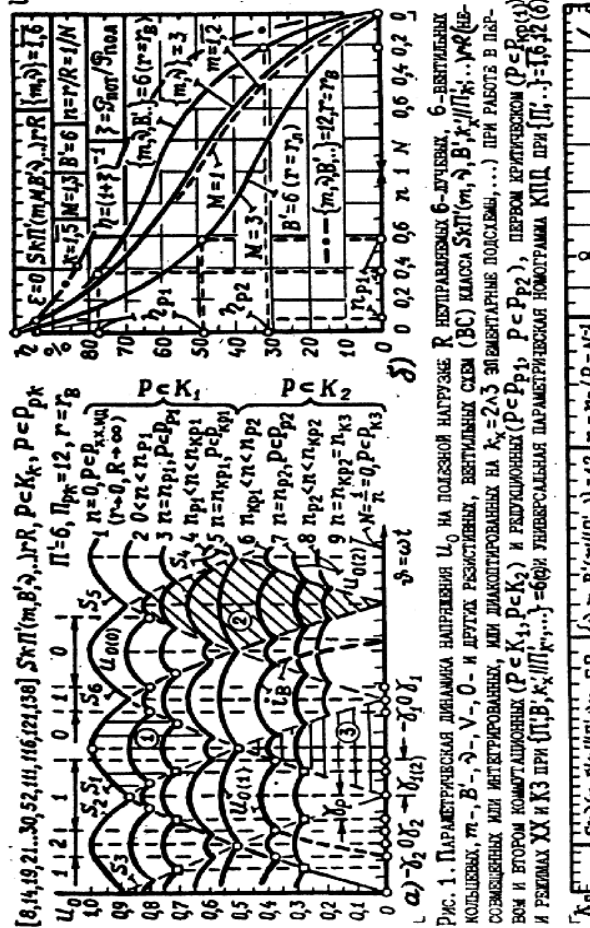
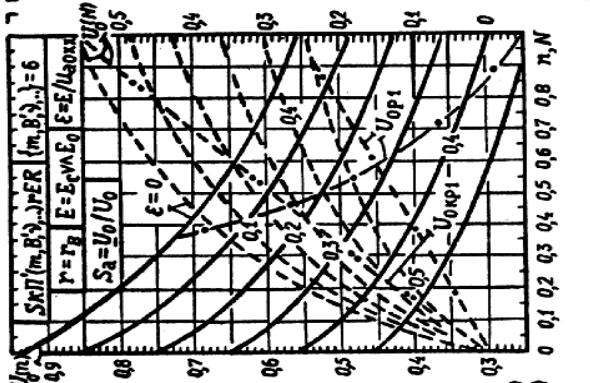
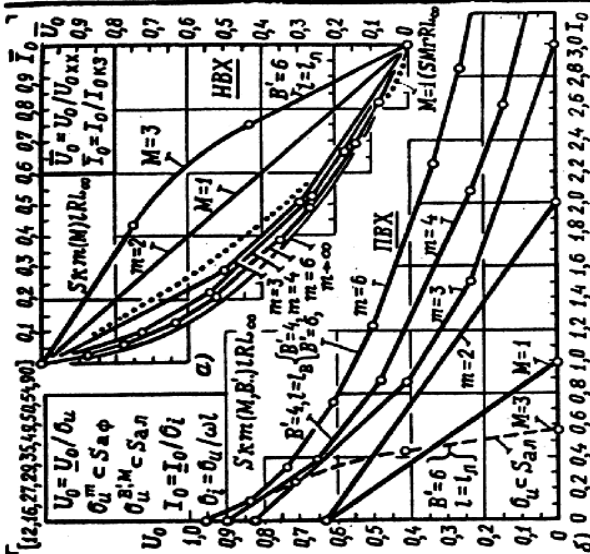


Рис. 1. Параметрическая диаграмма напряжений U_0 на полезной нагрузке R неуправляемых 6-лучевых, 6-вентильных колеблельных, т-в, \beta-в, \gamma-в, \omega-в и других резонансных, вентильных схем (ВС) класса S_k M (M, B, \gamma, r, R) // \Pi_k (k, \omega) при работе в первом коммутационном (P<K_1), P<K_2) и резонансном (P<R) режимах XX и XZ при \{ \Pi, B, k, \omega \} = \text{const} \text{ при } \{ \Pi, \gamma, \beta \} = 1, 1, 1 \text{ (6)}

Рис. 2. Универсальная диаграмма напряжений U_0 на полезной нагрузке R неуправляемых 6-лучевых, 6-вентильных колеблельных, т-в, \beta-в, \gamma-в, \omega-в и других резонансных, вентильных схем (ВС) класса S_k M (M, B, \gamma, r, R) // \Pi_k (k, \omega) при работе в первом коммутационном (P<K_1), P<K_2) и резонансном (P<R) режимах XX и XZ при \{ \Pi, B, k, \omega \} = \text{const} \text{ при } \{ \Pi, \gamma, \beta \} = 1, 1, 1 \text{ (6)}

Рис. 3. Универсальные параметрические номограммы среднего значения U_0 выходного напряжения U_0 при $\omega = 1$, $\omega_0 = 1$, $\omega_1 = 1$, $\omega_2 = 1$, $\omega_3 = 1$, $\omega_4 = 1$, $\omega_5 = 1$, $\omega_6 = 1$, $\omega_\infty = 1$ для различных классов BC класса S_k M (M, B, \gamma, r, R) // \Pi_k (k, \omega) при работе в k-x коммутационных, резонансных и резонансных режимах при \Pi = 1, \beta = 1, \gamma = 1

Рис. 4. Универсальные нормированные (HBX) (a), приведенные к основанию (LBX) (b) и другие (PBX) (b) внешние характеристики т-в, \beta-в, \gamma-в, \omega-в схем (с д-вентильными вентильными мостами), колеблельных (с в-вентильными колеблельными) 0-в, \gamma-в, \omega-в и других схем S_k M (M, B, \gamma, r, R) // \Pi_k (k, \omega) при работе в коммутационных режимах I и II рода k-го и k+1-го порядков при \{ \Pi, \beta \} = 1, 1, \beta = 1, \gamma = 1, \omega = 1, \omega_0 = 1, \omega_1 = 1, \omega_2 = 1, \omega_3 = 1, \omega_4 = 1, \omega_5 = 1, \omega_6 = 1, \omega_\infty = 1 \text{ при } \{ \Pi, \gamma, \beta \} = 1, 1, 1 \text{ (6)}

Рис. 8. Суперуниверсальные ВХ (г) и их увеличенные фрагменты (а, б, в) в приведенных к основаниям единиц (ПВХ $U_0(I_0(r))$, сплошные линии) резистивных вентиляльных схем класса $Sk\Pi'rR$ ($\lambda, m, \nu, k_x // \Pi_k', \dots$) - rR с $\Pi' = k_x \Pi_k'$ - кратной частотой пульсации (m -фазные, λ -лучевые, ν -вентильные кольцевые, диакопированные на k_x параллельно соединенных (через R_k) фазосдвинутых под схем с $\Pi_k' = \Pi' / k_x$ частотной кратностью пульсации, ν -, 0 - и другие интегрированные или несовершенные схемы с одним вентиляльным плечом в каждом из Π' циклически сменяющихся во времени контуров токопрохождения) при работе в коммутационных, редуционных и критических режимах k -го порядка и при $\Pi' = \overline{1, 24}$ (большие целые на ПВХ), $k = \overline{1, 9}$ (малые целые), $\{n = r/R, N = 1/n\} = [0; 1]$ (малые десятичные), $\theta_u \in U_{a.o.идлхх}$, $\theta_z \in r$, $\theta_i = \theta_u / \theta_z = \theta_u / r$, $U_0 = \underline{U}_0 / \theta_u$, $I_0(r) = \underline{I}_0 / \theta_i$, $\varepsilon = 0$; (---) - линейные лучевые ВХ (ЛВХ) при фиксированных $\{n, N\} \in [0, \infty]$, работе схем от ХХ до КЗ нагрузки R или r ; - - - - линейные от Π' характеристики для одноименных по k редуционных состояний $P \in P_{rk}$ с P_k -явлениями; - . . . - то же для k -х критических состояний $P \in P_{k(\kappa)}$)

